

# 極短波長レーザーによる物質プロセッシング

杉 岡 幸 次

## Material Processing by Ultra-Short Wavelength Lasers

Koji SUGIOKA

Vacuum ultraviolet (VUV) lasers are very attractive tools for high-quality microfabrication of high-function materials such as fused silica, GaN and teflon due to their ultra-short wavelength and high photon energy. In this paper, some examples of ablation and modification of these materials by F<sub>2</sub> laser, which is commercially available VUV laser, are reviewed. In addition, VUV-UV multiwavelength excitation process, which has been developed by RIKEN to overcome the present drawbacks of F<sub>2</sub> laser processing, is introduced.

**Key words:** vacuum ultraviolet laser, F<sub>2</sub> laser, multiwavelength excitation process, ablation, refractive index modification

レーザーアブレーションは、精密微細な加工を高効率に行うのに非常にすぐれた手法であり、多様な材料に対して広く研究が行われている。レーザーアブレーションによって物質を精密微細に加工するためには、加工対象材料がレーザー光に対して非常に大きい吸収係数をもつことが要求される。基本的に波長が短くなればなるほど、吸収係数は増加する。そこで多くの材料のアブレーション加工に対して、波長が短い紫外域のナノ秒パルスを発するエキシマーレーザーが用いられている。エキシマーレーザーは、ポリイミドやPMMA(ポリメチルメタクリレート)などの有機材料、光学ガラスなどに対しては高品質な加工が実現されている。一方、近年は、テフロン、石英ガラス、サファイアなどの高機能材料の微細加工が要求されるようになってきた。しかし、これらの材料は、真空紫外域以下の波長で吸収が生じるため、エキシマーレーザーを用いた場合高品質な加工は実現されていない。

このような材料の高品質加工を行うために、さらに短い波長の真空紫外レーザーを用いる必要がある。真空紫外レーザーとして最も一般的なものは、波長157 nmのF<sub>2</sub>レー

ザーであり、すでにパルスエネルギー数十 mJ のものが市販されている。F<sub>2</sub> レーザーは、その極短波長性から、ほとんどの材料に対して大きい吸収係数をもつ。吸収係数が大きいということは、レーザー光のエネルギーがほとんど表面近傍で吸収されることを意味する。その結果1パルス当たりのエッティング速度は小さくなるが、結果としてエッティング深さの制御を厳密に行え、かつより平坦な加工面を得ることができる。また、光子エネルギーも非常に大きいため物質内の原子・分子結合の光解離や電子励起も誘起でき、熱的な影響を低減した加工が行える。

本稿では、F<sub>2</sub> レーザーを用いた材料のアブレーション加工や改質の事例を紹介する。また、筆者らがF<sub>2</sub> レーザープロセスの短所を克服するために開発した、真空紫外-紫外多重波長励起プロセスに関しても解説を加える。

### 1. F<sub>2</sub> レーザーアブレーション

ソーダガラスや光学ガラス(BK-7)はDUV(深紫外)領域において吸収係数が非常に大きいため、ArF エキシマーレーザー(193 nm)で十分良好なアブレーション加工を

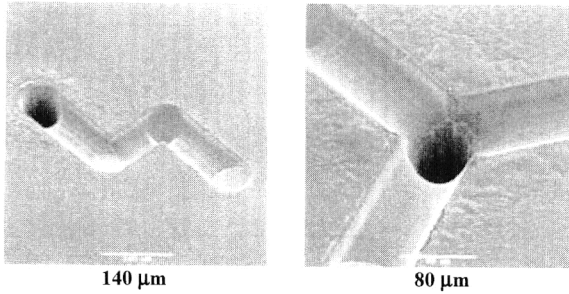


図1  $F_2$  レーザー アブレーションによって石英ガラスに形成された三次元的なマイクロチャネル構造。

行うことができる<sup>1)</sup>。一方、石英ガラスはバンドギャップが7.9 eVと大きく、光学吸収端も170 nm付近であるために、ArFエキシマーレーザーの波長は吸収されない。そこで、石英ガラスのアブレーション加工に、さらに波長の短い $F_2$  レーザー(157 nm)が用いられた。

$F_2$  レーザーを用いて石英ガラスをアブレーションした場合、加工表面は比較的平坦でクラックなども発生しない<sup>1)</sup>。アブレーション速度はレーザーフルーエンスにもよるが、おおむね数～数十 nm/パルスである。

アブレーションによってエッティング加工した場合、その加工特性として重要なのは加工表面の平坦性である。石英ガラスアブレーション加工では、加工表面の粗さは800 nm程度と報告されている<sup>2)</sup>。応用分野によってはさらに平坦性を向上させる必要があるが、この粗さの一番の原因是、レーザー光の空間強度分布に起因する。すなわち、 $F_2$  レーザーはエキシマーレーザーに比べるとコヒーレンシーがよいために、ビームパターンにスペックルノイズが発生する。これによって加工部表面に細かいリップル状の構造が形成され、平坦性を悪化させる要因となっている。したがって、 $F_2$  レーザーのリップルノイズを取り除くことが、高品質な加工を行ううえで重要である。もうひとつの問題点は、 $F_2$  レーザーの石英ガラスに対する吸収係数がそれほど大きくない点である。石英ガラスのバンドギャップは約9 eVであり、 $F_2$  レーザーの光子エネルギーの7.9 eVよりもわずかに大きい。そのため、 $F_2$  レーザーの石英ガラスへの吸収は、欠陥や不純物に起因した欠陥準位によって生じる。より高品質な加工を行おうとするならば、バンドギャップより大きい光子エネルギーをもつレーザーを用いる必要がある。Arエキシマーレーザーがその条件を満たすが、放電励起による発振はいまだ実現されていない。

ところで、石英ガラスのマイクロ加工の応用分野のひとつは、オプティクスやオプトエレクトロニクスである。その例として、 $F_2$  レーザー アブレーションによって石英ガラスにフレネルレンズ<sup>3)</sup>や、マイクロレンズ<sup>4)</sup>が作製されて

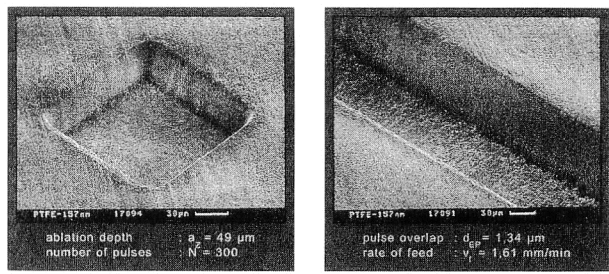


図2  $F_2$  レーザーによるテフロンのアブレーション加工。

いる。また、現在最も注目されている応用分野は、DNAチップ、マイクロ流路デバイス、マイクロ化学分析システム( $\mu$ TAS: micro total analysis system)といった微小化学分析用マイクロチップの作製である。これを用いると、遺伝子・タンパク質解析、医用検査、新薬開発などが高効率・高感度で行えると期待されている。石英ガラスは、化学的に安定なこと、過酷環境下でも利用できること、不純物がほとんどないこと、紫外吸収やレーザー誘起蛍光等の分析が直接行えることなど、マイクロチップ基板として非常に魅力的である。図1に、マイクロチップデバイスへの応用を目的として、 $F_2$  レーザー アブレーションによって石英ガラスに三次元的なマイクロチャネル構造を形成した例を示す<sup>4)</sup>。

$F_2$  レーザー アブレーションは、石英ガラス以外の高機能材料の精密微細加工にも応用される。図2にテフロンを加工した例を示す。テフロンは $F_2$  レーザーの発振波長に近い160 nm付近に強い吸収をもち、その結果きわめて高品質な加工が実現できている<sup>3)</sup>。

## 2. $F_2$ レーザーによる屈折率制御

ガラス材料の空間選択性の屈折率制御は、光導波路や光学グレーティングなどフォトニックデバイスへの応用として非常に重要な技術である。真空紫外レーザーを用いれば、石英ガラス、ゲルマノシリケイトガラス、イオン交換ガラスに対しても高効率な屈折率制御が行える。実際、これらの材料に対して、上記デバイスを作製するのに十分な $10^{-2} \sim 10^{-3}$ 程度の屈折率増加が得られている<sup>5-7)</sup>。

$F_2$  レーザーとよく比較されるフェムト秒レーザーを用いた石英ガラスの屈折率制御は、レーザープロセッシング分野における近年のトピックスである<sup>8-10)</sup>。特にフェムト秒レーザーを用いた場合の特長は、多光子吸収過程を利用したバルク材料内部の改質であるが、ごく最近 $F_2$  レーザーでも同様な内部改質が可能であることが示された<sup>11)</sup>。フェムト秒レーザーの場合は非線形な多光子吸収過程を利用している。一方、 $F_2$  レーザーの場合、吸収は線形な一光子

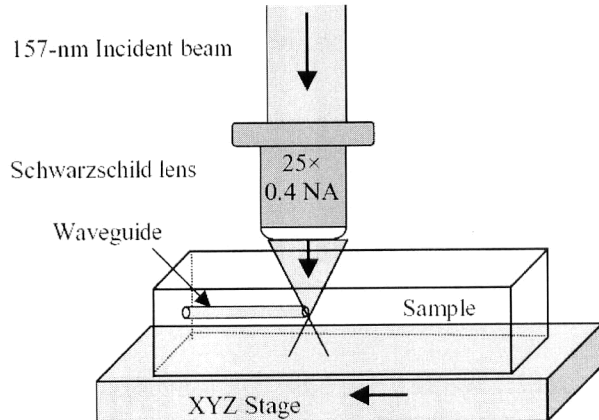


図3  $F_2$  レーザーによる石英ガラス内部へのシングルモード光導波路書き込み実験の概略図。

吸収であり、レーザー照射強度による反応の大きさの違いを利用している。つまり、前述のように石英ガラスに対する  $F_2$  レーザーの吸収係数はそれほど大きくないため、吸収長は数百  $\mu\text{m}$ ~1 mm 程度に達する。 $F_2$  レーザー光を高NAの対物レンズで石英ガラス内部に集光すれば、集光点近傍のみ光子密度をきわめて高くすることができる。屈折率の増加量は投入した総光子数に大きく依存するので、この集光領域の屈折率を大きく増加することができる。その実験の概略図を図3に示す。本手法によって、石英ガラス内部にシングルモードの光導波路を書き込むことに成功した<sup>11)</sup>。

### 3. 真空紫外-紫外多重波長励起プロセス

#### 3.1 アブレーション加工

上述のように、 $F_2$  レーザーは、高機能材料の精密微細加工を行うのに非常に魅力的なツールである。しかし、産業応用を考えた場合、フェムト秒レーザー同様、現状では多くの問題が残されている。すなわち現在市販されている  $F_2$  レーザーのパルスエネルギーはたかだか数十 mJ 程度であり、石英ガラスなどのアブレーション加工を行う場合、照射スポットを  $1 \text{ mm}^2$  以下にしなくてはならない。また、パターン加工を行う縮小投影光学系も開発途上である。このような問題を解決するために、筆者らは、真空紫外-紫外多重波長励起プロセスを開発した<sup>12-14)</sup>。本プロセスでは、 $F_2$  レーザー光と紫外エキシマーレーザー光を同時に試料に照射することによってアブレーション加工を行う。このときの  $F_2$  レーザー光の照射強度は数十~百  $\text{mJ}/\text{cm}^2$  程度である。この値は、 $F_2$  レーザーのみを用いてアブレーションを行う場合の照射強度より 1~2 桁程度小さい。また、同時に照射されるエキシマーレーザー光の照射強度は数  $\text{J}/\text{cm}^2$  である。微細パターン加工を行うには、紫外レーザー光の

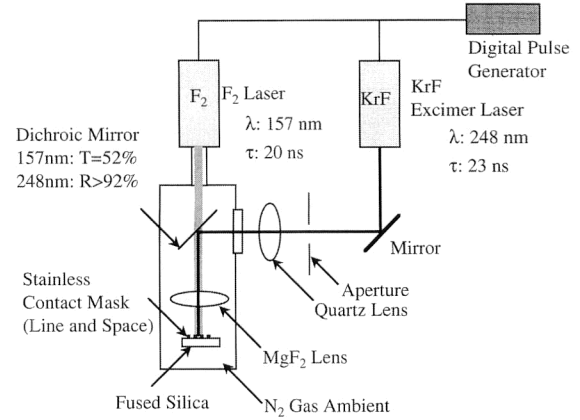


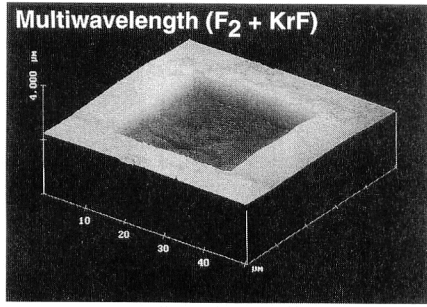
図4 真空紫外-紫外多重波長励起プロセスの実験装置概略図。

みをパターン状に照射すればよい。これからわかるように、本プロセスは、 $F_2$  レーザー光のみによる単一波長を用いたプロセスに比べると多くの長所を有する。すなわち、 $F_2$  レーザー光のエネルギーは、単一波長でアブレーションを行う場合よりはるかに小さくてよいため、単一波長プロセスと比べるとフォトンコストを低減できるとともに、加工領域を広くすることができる。また、微細パターンニングを行うためにはエキシマーレーザー光をパターン転写すればよく、既存のエキシマーレーザー縮小投影光学系が利用できる。

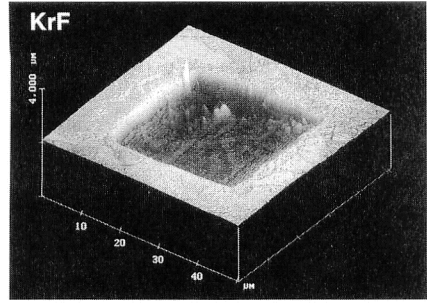
図4に、真空紫外-紫外多重波長励起プロセスの実験装置の概略図を示す。窒素雰囲気に置かれた試料に対し、 $F_2$  レーザーと KrF エキシマーレーザー光を同時に照射する。2つのレーザー光を同軸から照射するため、 $F_2$  レーザー光を透過し、KrF エキシマーレーザー光を反射するダイクロイックミラーを用いている。

図5(a)に、 $F_2$ -KrF エキシマーレーザー多重波長励起プロセスによってアブレーション加工された石英ガラスの走査プローブ顕微鏡 (SPM) 像を示す。また、比較のために図5(b)に、KrF エキシマーレーザーのみで加工を行った結果も併せて示す。このときの KrF エキシマーレーザーのフルーエンスは双方とも  $4.0 \text{ J}/\text{cm}^2$  で、多重波長励起プロセスの場合はさらに  $0.23 \text{ J}/\text{cm}^2$  の  $F_2$  レーザーを同時に照射した。図より明らかのように、非常に小さいフルーエンスの  $F_2$  レーザー同時照射によって、KrF エキシマーレーザーのみを用いた場合に比べると大幅に加工特性が改善されていることがわかる。

加工メカニズムは、励起準位による吸収 (excited-state absorption: ESA) であると考えられる。前述のように、 $F_2$  レーザーを石英ガラスに照射すると、バンドの禁制帶中の 7.3 eV (光学吸収端 170 nm に対応) より上のエネルギー位置に存在する欠陥準位に吸収される。したがって、価電子



(a)



(b)

図5 アブレーション加工された石英ガラスの走査プローブ顕微鏡 (SPM) 像. (a)  $F_2$ -KrF エキシマーレーザー多重波長励起プロセス, (b) KrF エキシマーレーザーアブレーション.

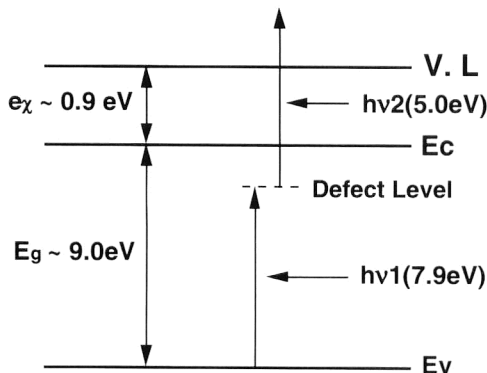


図6  $F_2$  レーザーと KrF エキシマーレーザー同時照射による石英ガラス内の電子励起過程.

帶からこれらの準位へ電子が励起される。欠陥準位に捕獲された電子は、欠陥準位から伝導帯までのエネルギー差 ( $<1.7$  eV) と電子親和力 (0.9 eV) の和 ( $<2.6$  eV) より大きい光子エネルギーの光によって、容易に真空準位外に引き上げられる。したがって、大きいパルスエネルギーをもつ KrF エキシマーレーザー光 (5.0 eV) は欠陥準位に捕獲された電子に強く吸収され、励起電子を真空準位外に引き上げることによって電子を剥ぎ取る。その結果、構成原子の光イオン化や光解離へと進展し、最終的にアブレーションが生じる。この様子を図6に示す。

本プロセスは、水晶、サファイア、SiC、GaN などその他の高機能材料へも適用可能である。図7に、サファイア

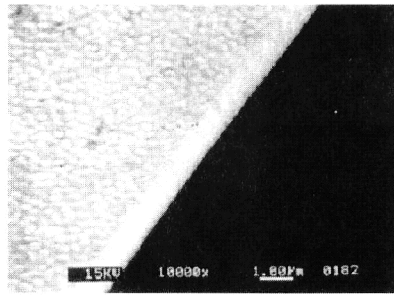
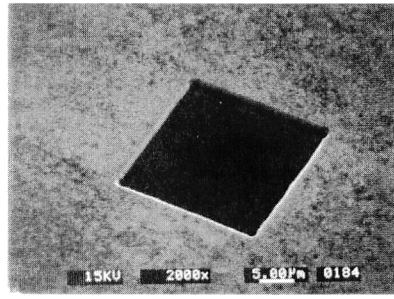


図7 真空紫外-紫外多重波長励起プロセスによりサファイア基板上にエピ成長された GaN のアブレーション加工.

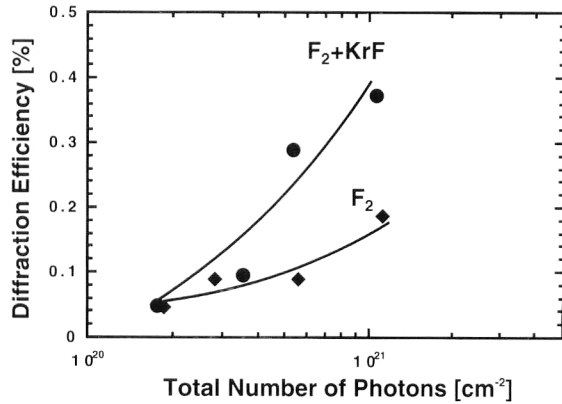


図8 多重波長励起プロセスおよび  $F_2$  レーザー光照射のみで屈折率の制御を行った試料の回折効率の投入総光子数密度依存性.

基板上にエピ成長された GaN を加工した結果を示す。多パルス照射によって、GaN 薄膜はサファイア基板上から完全に除去されている。この場合、サファイア基板もアブレーションされているが、非常に平坦な表面が形成されている。また、加工された GaN の側壁もきわめて急峻で平坦である。このような高品質の加工側壁は、青色発振 GaN レーザーダイオードの共振器面として応用が期待される。

### 3.2 屈折率制御

筆者らはさらに、多重波長励起プロセスを石英ガラスの屈折率制御に応用した<sup>15)</sup>。図8に、多重波長励起プロセスおよび  $F_2$  レーザー光照射のみで屈折率の制御を行った試料の回折効率の投入総光子数密度依存性を調べた結果を示

す。投入総光子数密度は、1パルス中の単位面積当たりの光子数と照射パルス数の積によって求まる。一般に回折効率は投入された総光子数によって一義的に決定されることが報告されている<sup>6)</sup>。多重波長励起プロセスにおいては、総光子数は  $F_2$  レーザーおよび KrF エキシマーレーザーのそれぞれの総光子数の和に相当する。 $F_2$  レーザーと KrF エキシマーレーザーのフルーエンスはおのおの 200 および 120 mJ/cm<sup>2</sup> であり、各パルス中の光子数が同数になるように設定されている。つまり、総光子数の半分は KrF エキシマーレーザーの光子である。多重波長励起プロセスのほうが同じ総光子数において、より大きい回折効率の増加を示しており、総光子数  $10^{21} \text{ cm}^{-2}$  においては  $F_2$  レーザーのみを照射した場合の約 2 倍の値が得られている。

このような多重波長励起プロセスによる高効率な回折効率増加は、ESA をもとにした共鳴光イオン化様プロセスに起因すると考えられる。 $F_2$  レーザーのみを照射した場合は、まず電子が欠陥準位に捕獲される。捕獲された電子の一部は同じパルス中の  $F_2$  レーザー光子によって真空準位上にさらに励起されるが、励起電子の緩和時間が 1.7 ns と非常に短いため<sup>12)</sup>、多くは価電子帯に緩和する。一方、多重波長励起プロセスの場合、KrF エキシマーレーザー光は励起された電子にのみ吸収をもつため、不純物準位に捕獲された電子を真空準位上に効率よく励起する。この共鳴光イオン化様プロセスが高効率な光解離を誘起し、大きい回折効率が得られたと考えられる。

実際の屈折率の変化量はエリプソメーターを用いて評価した。この場合は、 $F_2$  レーザーおよび KrF エキシマーレーザーの各フルーエンスは 75 および 50 mJ/cm<sup>2</sup> とし、40 Hz で 90 分間照射した。多重波長励起プロセスの屈折率増加量は  $8.6 \times 10^{-3}$  であり、 $F_2$  レーザーのみを用いた場合の  $4.6 \times 10^{-3}$  に比べて 1.8 倍大きい値が達成された。

$F_2$  レーザーは、波長がきわめて短く光子エネルギーが大きいことから、多くの材料に強い吸収をもち、これまで加工が困難であった石英ガラス、テフロン、GaN などの高機能材料の高品質な精密微細加工を実現した。一方、実用化のためには装置および周辺技術の発展および確立が急務である。これを解決するために、筆者らは真空紫外-紫外多重波長励起プロセスを開発し、その有用性を示した。今後は、 $F_2$  レーザーを含めた極短波長レーザー光を用いたプロセスの研究がますます盛んになることが予想される。

## 文 献

- 1) J. Fair, E. Mayer, M. Scaggs and D. Basting: "A study of micromachining wide band-gap materials using VUV laser light," *Lambda Physik Highlights*, No. 56 (2000) p. 8.
- 2) U. Stamm, A. Ostendorf and T. Temme: "Micro-processing of innovative materials using 157 nm excimer laser radiation," *Proc. of 1st Int. WLT-Conf. on Lasers in Manufacturing* (2001) pp. 303-311.
- 3) H. Endert, M. Kauf, E. E. Mayer, M. J. Scaggs, J. H. Fair and D. Basting: "Microstructuring with 157 nm laser light," *Proc. SPIE*, **3618** (1999) 413-417.
- 4) A. Ostendorf: "Micro-structuring with 157 nm-laser radiation," *Lambda Physik Highlights*, No. 56 (2000) p. 3.
- 5) K. Sugioka, J. Zhang, S. Ruschin, S. Wada, H. Tashiro and K. Toyoda: "Vacuum-ultraviolet laser-induced refractive index change of fused silica," *Appl. Surf. Sci.*, **127-129** (1998) 843-847.
- 6) J. Zhang, P. Herman, C. Lauer, K. P. Chen and M. Wei: "157-nm laser-induced modification of fused-silica glasses," *Proc. SPIE*, **4274** (2001) 125-132.
- 7) S. Ruschin, K. Sugioka, G. Yarom, T. Akane and K. Midorikawa: "Modification of refractive index in Ag/Na ion-exchanged glasses by vacuum-ultraviolet pulse laser irradiation," *Appl. Phys. Lett.*, **78** (2001) 1844-1846.
- 8) 平尾一之: "フェムト秒レーザーで描く三次元光導波路", 応用物理, **67** (1998) 950-952.
- 9) K. Miura, J. Qie, H. Inoue, T. Mitsuyu and K. Hirao: "Photowritten optical waveguides in various glasses with ultrashort pulse laser," *Appl. Phys. Lett.*, **71** (1997) 3329-3331.
- 10) D. Ashkenasi, R. Rosenfeld, H. Varel and E. E. B. Campbell: "Application of self-focusing of ps laser pulses for three-dimensional microstructuring of transparent materials," *Appl. Phys. Lett.*, **72** (1998) 1442-1444.
- 11) X. M. Wei, K. P. Chen, D. Coric, P. R. Herman and J. Li: " $F_2$ -laser microfabrication of buried structures in transparent glasses," *Proc. SPIE*, **4637A** (2002) 251-257.
- 12) K. Sugioka, S. Wada, H. Tashiro, K. Toyoda, Y. Ohnuma and A. Nakamura: "Multiwavelength excitation by vacuum-ultraviolet beams coupled with fourth harmonics of a Q-switched Nd: YAG laser for high-quality ablation of fused quartz," *Appl. Phys. Lett.*, **67** (1995) 2789-2791.
- 13) K. Sugioka, S. Wada, H. Tashiro and K. Toyoda: "Multiwavelength irradiation effect in fused quartz ablation using vacuum-ultraviolet Raman laser," *Appl. Surf. Sci.*, **96-98** (1996) 347-351.
- 14) K. Obata, K. Sugioka, T. Akane, K. Toyoda and K. Midorikawa: "Influence of laser fluence and irradiation timing of  $F_2$  laser on ablation properties of fused silica in  $F_2$ -KrF excimer laser multi-wavelength excitation process," *Appl. Phys. A*, **73** (2001) 755-759.
- 15) K. Obata, K. Sugioka, T. Takane, N. Aoki, K. Toyoda and K. Midorikawa: "Efficient refractive index modification of fused silica by resonance photoionization-like process using  $F_2$  and KrF excimer lasers," *Opt. Lett.*, **27** (2002) 330-332.

(2002年3月14日受理)